

вале амплитуд, так как на углероде вплоть до энергии падающих нейтронов 4,43 МэВ возможно лишь упругое рассеяние.

Опыт показал, что требования к подбору эквивалентного рассеивателя могут быть значительно снижены при хорошем воспроизведении фона, если подбирать в качестве варьируемых параметров не только интенсивности линий  $\gamma$ -излучения исследуемого образца, но и интенсивности линий  $\gamma$ -излучения при неупругом рассеянии нейтронов на йоде и натрии.

Создание библиотеки фоновых углеродных спектров, хранящейся в памяти электронно-вычислительных машин, использование спектров другого образца или спектров исследуемого образца, полученных при

других энергиях падающих нейтронов, вместо углеродных спектров — приемы, позволяющие экономить время измерений.

В данной работе применен итерационный метод взвешенных наименьших квадратов, который, как показал опыт, уменьшает чувствительность результатов анализа к сдвигам коэффициентов усиления и порогов по сравнению с простым методом наименьших квадратов. Результаты обработки спектров, полученные указанным методом, приведены на рис. 1 и 2.

(№ 157/4096. Статья поступила в Редакцию 26/XII 1966 г., аннотация — 2/II 1967 г. Полный текст 0,6 а. л., 2 рис., 1 табл., библиография 5 названий.)

## Наклонное прохождение $\gamma$ -излучения через барьерную защиту

Л. Н. ВЕСЕЛОВСКИЙ, Е. К. ГУЗОВСКАЯ, В. Г. КУЗНЕЦОВ,  
В. А. САКОВИЧ

УДК 621.039.58:539.122

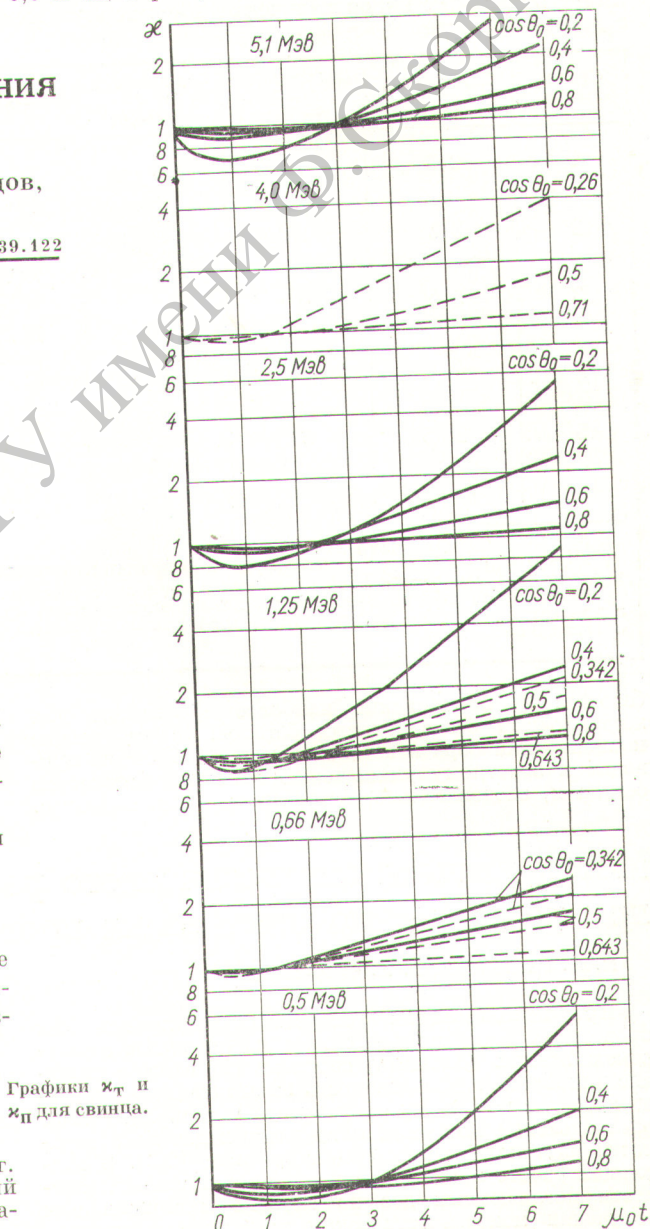
Большинство экспериментальных и расчетных работ по наклонному прохождению  $\gamma$ -излучения через защитные барьеры содержат сведения о токе или потоке энергии прошедшего  $\gamma$ -излучения при различных углах падения, энергии первичного излучения, материалах защиты и ее толщинах. Сравнение результатов ряда работ показывает хорошее совпадение при одинаковых условиях, несмотря на различие в методах исследования. При углах падения  $\theta_0$  более  $50^\circ$  и толщине защиты вдоль первичного луча более трех длин ослабления ток и поток рассеянного излучения за защитой больше, чем при нормальном падении.

На основе литературных данных были вычислены коэффициенты, учитывающие указанное увеличение:  $\chi_t$  — для тока энергии и  $\chi_p$  — для потока энергии. В статье даны значения  $\chi_t$  и  $\chi_p$  для различных материалов и энергий источников  $\gamma$ -излучения. На рисунке приведены графики  $\chi_t$  (сплошная кривая) и  $\chi_p$  (пунктир) для свинца.

Используя  $\chi_p$ , нетрудно рассчитать поток энергии за наклонным барьером:

$$\Pi = \Pi_0 [(B_{t,\infty} - 1) K_{t,t} + 1] \chi_p e^{-\mu_0 t},$$

$\Pi$  — фактор накопления в бесконечной среде времени  $t$ ;  $K_{t,t}$  — поправка Бергера на барьер-среды;  $\mu_0 t$  — толщина защиты барьера в направлении первичного излучения.



Графики  $\chi_t$  и  
 $\chi_p$  для свинца.

(№ 158/3716. Поступила в Редакцию 28/IV 1966 г.  
В окончательной редакции 16/II 1967 г. Полный  
текст 0,3 а. л., 5 рис., 1 табл., библиография 12 на-  
зываний.)